

REGIONE PUGLIA
PROVINCIA DI LECCE

Comune:

Galatina

Località "La Lama"

PROGETTO DEFINITIVO PER LA REALIZZAZIONE DI UN IMPIANTO DI PRODUZIONE DI ENERGIA ELETTRICA DA FONTE FOTOVOLTAICA E RELATIVE OPERE DI CONNESSIONE - Potenza nominale **11.970,00 kWp in DC** e potenza in immissione di **9.980,00 kW in AC**

Codice Pratica Regione Puglia **FWSKO78**

Sezione 0:

RELAZIONI GENERALI

Titolo elaborato:

STUDIO DI COMPATIBILITA' IDROLOGICA ED IDRAULICA
RELAZIONE IDROLOGICA

N. Elaborato: 0.7

Scala: -

Committente

Galatina 3 S.r.l.
Via Francesco Scandone, 4
Montella (AV) - 83048
P.IVA 03105260644
galatina3@legalmail.it

Progettazione



sede legale e operativa
San Giorgio Del Sannio (BN) via de Gasperi 61
sede operativa
Lucera (FG) via Alfonso La Cava 114
P.IVA 01465940623
Azienda con sistema gestione qualità Certificato N. 50 100 11873



Progettista
GEO TECNOLOGIE SRL
VIA DELLA RESISTENZA 48/G2
70125 BARI



Rev.	Data	Elaborazione	Approvazione	Emissione	DESCRIZIONE
01	Ottobre 2021	EP	EP	EP	Voltura societaria
00	Agosto 2021	EP	EP	EP	Emissione Progetto Definitivo
Nome File sorgente	FV.GAL01.C3.PD.0.7.R01.doc	Nome file stampa	FV.GAL01.C3.PD.0.7.R01.pdf	Formato di stampa	A4

1	INQUADRAMENTO GENERALE	2
1.1	Premessa.....	2
1.2	Interventi previsti	3
1.3	Impostazione dello studio.....	5
2	ANALISI IDROLOGICA - IDRAULICA	9
3	CONCLUSIONI.....	18

1.2 Interventi previsti

Il progetto prevede la realizzazione di un impianto fotovoltaico da realizzarsi nel comune di Galatina (LE) in località “La Lama”. Parte dell’impianto è raggiungibile percorrendo la SP18, l’altra parte è raggiungibile percorrendo la strada vicinale “Le Longhe”.

L’impianto fotovoltaico di progetto ha una potenza complessiva di picco installata pari a 11,71 MWp.

Il suddetto impianto è costituito da 22792 moduli fotovoltaici, suddivisi in campi, sottocampi e stringhe, i quali sono collegati in serie o in parallelo a seconda del livello. Una serie di moduli costituisce una stringa, la quale si collega in parallelo ad altre stringhe per formare il sottocampo, il quale forma con altri sottocampi sempre collegati in parallelo il campo fotovoltaico.

I pannelli saranno montati su strutture a inseguimento monoassiale (tracker), in configurazione bifilare; ovvero un tracker con 1 filare da 56 moduli ognuno.

I pannelli fotovoltaici hanno dimensioni 2230 x 1134 mm, incapsulati in una cornice di alluminio anodizzato dello spessore di 35 mm, per un peso totale di 28,9 kg ognuno.

I tracker su cui sono montati i moduli sono realizzati in acciaio al carbonio galvanizzato, resistente alla corrosione, e sono mossi da un motorino magnetico passo-passo.

Le strutture dei tracker sono costituite da pali verticali infissi al suolo e collegati da una trave orizzontale secondo l’asse nord-sud (mozzo) inserita all’interno di cuscinetti appositamente progettati per consentirne la rotazione lungo l’arco solare (asse est-ovest). Ogni tracker è dotato di un motorino a vite senza fine, che trasmette il moto rotazionale al mozzo.

L’altezza al mozzo delle strutture è di circa 2 m dal suolo; l’angolo di rotazione del mozzo è di $\pm 60^\circ$ rispetto all’orizzontale. La motorizzazione del mozzo è alimentata da un kit integrato comprendente un piccolo modulo fotovoltaico dedicato, una batteria di accumulo, e non necessita di alimentazione esterna.

Il progetto prevede n°407 tracker da 56 moduli (ovvero 22792 moduli) per una potenza complessiva installata di 11,71 MWp.

L’impianto sarà corredato da 10 cabine di campo, 1 cabina di raccolta, 1 cabina di consegna DG2092, un cavidotto utente di 20 kV e un elettrodotto aereo di rete.

Durante il giorno l’impianto fotovoltaico converte la radiazione solare in energia elettrica in corrente continua. Tale corrente è inviata attraverso i quadri di campo e sottocampo agli inverter i quali la trasformano in corrente alternata trifase 640 V.

Le uscite c.a. degli inverter di ogni sottocampo si collegano a relativi trasformatori MT/BT che elevano la tensione a 20 kV in particolare le cabine di sottocampo saranno collegati tra di loro

mediante un cavidotto MT interrato denominato “cavidotto interno”. Quest’ultimo giungerà ad una cabina di raccolta a partire dalla quale si svilupperà un cavidotto MT interrato, denominato “cavidotto esterno” per il collegamento dell’impianto alla cabina di consegna e poi alla Cabina Primaria di Collemeto mediante la realizzazione di un nuovo elettrodotto aereo.

L’area d’impianto (ovvero quella destinata all’installazione dei pannelli fotovoltaici) sarà delimitata da una recinzione realizzata con rete in acciaio zincato plastificata verde collegata a pali in acciaio tinteggiati verdi infissi direttamente nel suolo. Per consentire il passaggio della fauna selvatica di piccola taglia si prevede di installare la recinzione in modo da garantire lungo tutto il perimetro dell’impianto un varco di 20 cm rispetto al piano campagna. L’accesso all’area d’impianto avverrà attraverso diversi cancelli carrai a due ante, con luce netta 5 m ed ante montate su pali in acciaio fissati al suolo con plinti di fondazione in cls armato collegati da cordolo.

All’interno dell’area d’impianto e perimetralmente alla recinzione è previsto un sistema di illuminazione e videosorveglianza che sarà montato su pali in acciaio zincato fissati al suolo con plinto di fondazione in cls armato. L’illuminazione avverrà dall’alto verso il basso in modo da evitare la dispersione verso il cielo della luce artificiale in accordo con quanto previsto dalla normativa regionale e nazionale in materia di inquinamento luminoso (ad esempio l.r. 23 novembre 2005, n. 15).

A partire dall’area d’impianto si sviluppa il cavidotto di collegamento dell’impianto alla cabina di consegna e che costituisce l’impianto di utenza. Tale cavidotto sarà interrato su strada esistente.

A partire dalla cabina di consegna si svilupperà il collegamento in cavo aereo e in parte interrato costituente l’impianto di Rete e che trasferirà l’energia alla Cabina Primaria esistente “Collemeto”.



Figura 2 Inquadramento impianto su fotopiano

Per i dettagli si rimanda agli elaborati progettuali di riferimento.

1.3 Impostazione dello studio

Gli approfondimenti sull'assetto idraulico delle aree in esame saranno svolti con riferimento a tutte le opere elencate al paragrafo precedente.

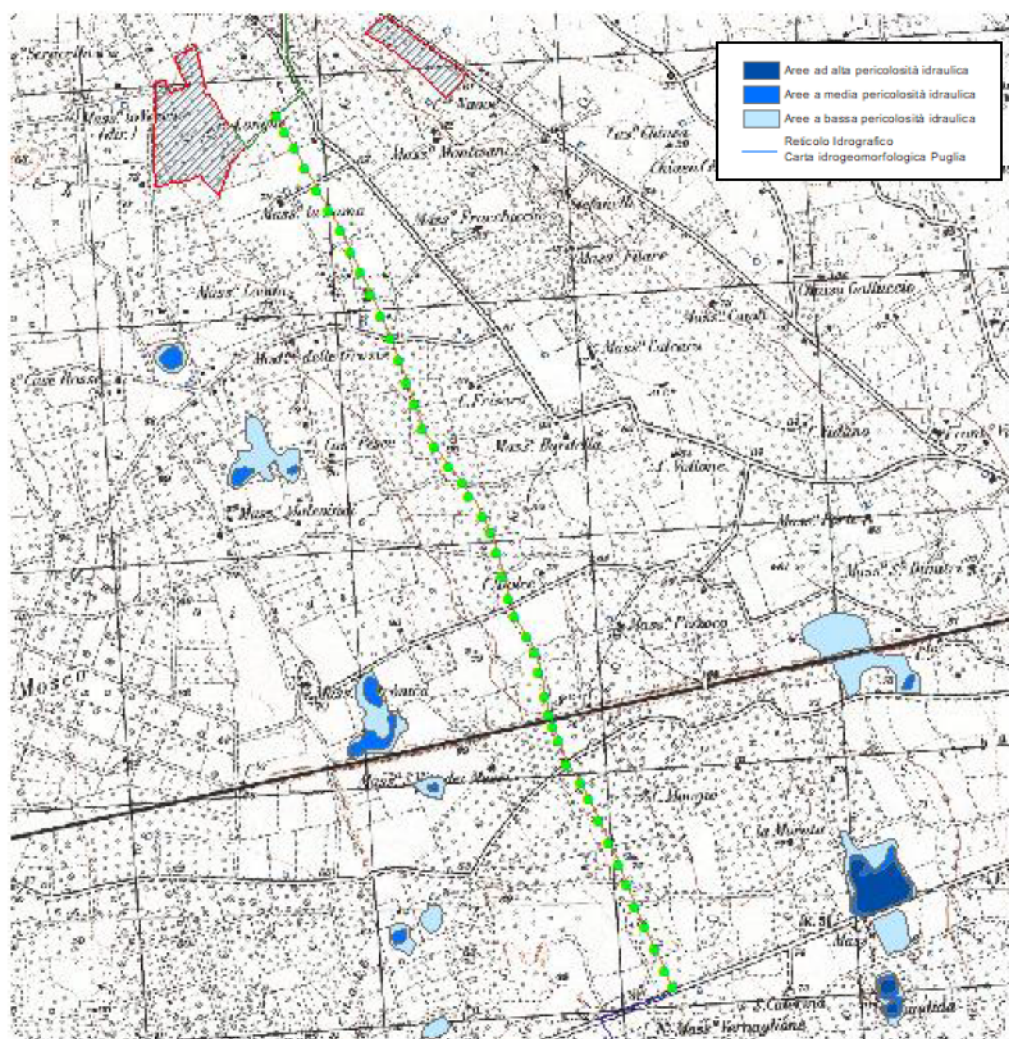


Figura 3 Inquadramento Aree PAI e reticolo idrografico

Dalla consultazione degli elaborati grafici si può notare, come già specificato in precedenza, che le opere non ricadono all'interno di aree perimetrate e/o alveo fluviale in modellamento attivo ed aree golenali - fasce di pertinenza fluviale.

Il Piano di bacino stralcio Assetto Idrogeologico dell'Autorità di Bacino Interregionale della Puglia (PAI) oggi Distretto Idrografico dell'Appennino meridionale è finalizzato al miglioramento delle condizioni di regime idraulico e della stabilità dei versanti necessari a ridurre gli attuali livelli di pericolosità e consentire uno sviluppo sostenibile del territorio nel rispetto degli assetti naturali, della loro tendenza evolutiva e delle potenzialità d'uso.

Il PAI costituisce Piano Stralcio del Piano di Bacino, ai sensi dell'articolo 17 comma 6 ter della Legge 18 maggio 1989, n° 183; ha valore di piano territoriale di settore ed è lo strumento conoscitivo, normativo e tecnico-operativo mediante il quale sono pianificate e programmate le azioni e le norme d'uso finalizzate alla conservazione, alla difesa e alla valorizzazione del suolo ricadente nel territorio di competenza dell'Autorità di Bacino della Puglia.

Le finalità del PAI sono realizzate, dall'Autorità di Bacino della Puglia e dalle altre Amministrazioni competenti, mediante:

- la definizione del quadro della pericolosità idrogeologica in relazione ai fenomeni di esondazione e di dissesto dei versanti;
- la definizione degli interventi per la disciplina, il controllo, la salvaguardia, la regolarizzazione dei corsi d'acqua e la sistemazione dei versanti e delle aree instabili a protezione degli abitati e delle infrastrutture, indirizzando l'uso di modalità di intervento che privilegino la valorizzazione ed il recupero delle caratteristiche naturali del terreno;
- l'individuazione, la salvaguardia e la valorizzazione delle aree di pertinenza fluviale;
- la manutenzione, il completamento e l'integrazione dei sistemi di difesa esistenti;
- la definizione degli interventi per la difesa e la regolazione dei corsi d'acqua;
- la definizione di nuovi sistemi di difesa, ad integrazione di quelli esistenti, con funzioni di controllo della evoluzione dei fenomeni di dissesto e di esondazione, in relazione al livello di riduzione del rischio da conseguire.

Prescrizioni del PAI

Le Norme Tecniche di Attuazione (NTA) del PAI, in relazione alle condizioni idrauliche e geomorfologiche, alla tutela dell'ambiente e alla prevenzione di presumibili effetti dannosi prodotti da interventi antropici, dettano norme per le aree di cui agli artt. 6, 7, 8, 9 e 10 (relativamente all'assetto idraulico) e agli artt. 13, 14 e 15 (relativamente all'assetto geomorfologico).

In particolare, le aree di cui sopra sono definite:

- Alveo fluviale in modellamento attivo ed aree golenali (art. 6);
- Aree ad alta pericolosità idraulica (A.P.) (art. 7);
- Aree a media pericolosità idraulica (M.P.) (art. 8);
- Aree a bassa pericolosità idraulica (B.P.) (art. 9);
- Fasce di pertinenza fluviale (art. 10);
- Aree a pericolosità geomorfologica molto elevata (P.G.3) (art. 13);
- Aree a pericolosità geomorfologica elevata (P.G.2) (art. 14);
- Aree a pericolosità geomorfologica media e moderata (P.G.1) (art. 15).

Relativamente alle aree a diversa pericolosità idraulica e geomorfologia (A.P., M.P., B.P., P.G.3, P.G.2, P.G.1), queste risultano realmente individuate nelle "Carte delle aree soggette a rischio idrogeologico" allegate al PAI, mentre, relativamente alle aree definite Alveo fluviale in modellamento

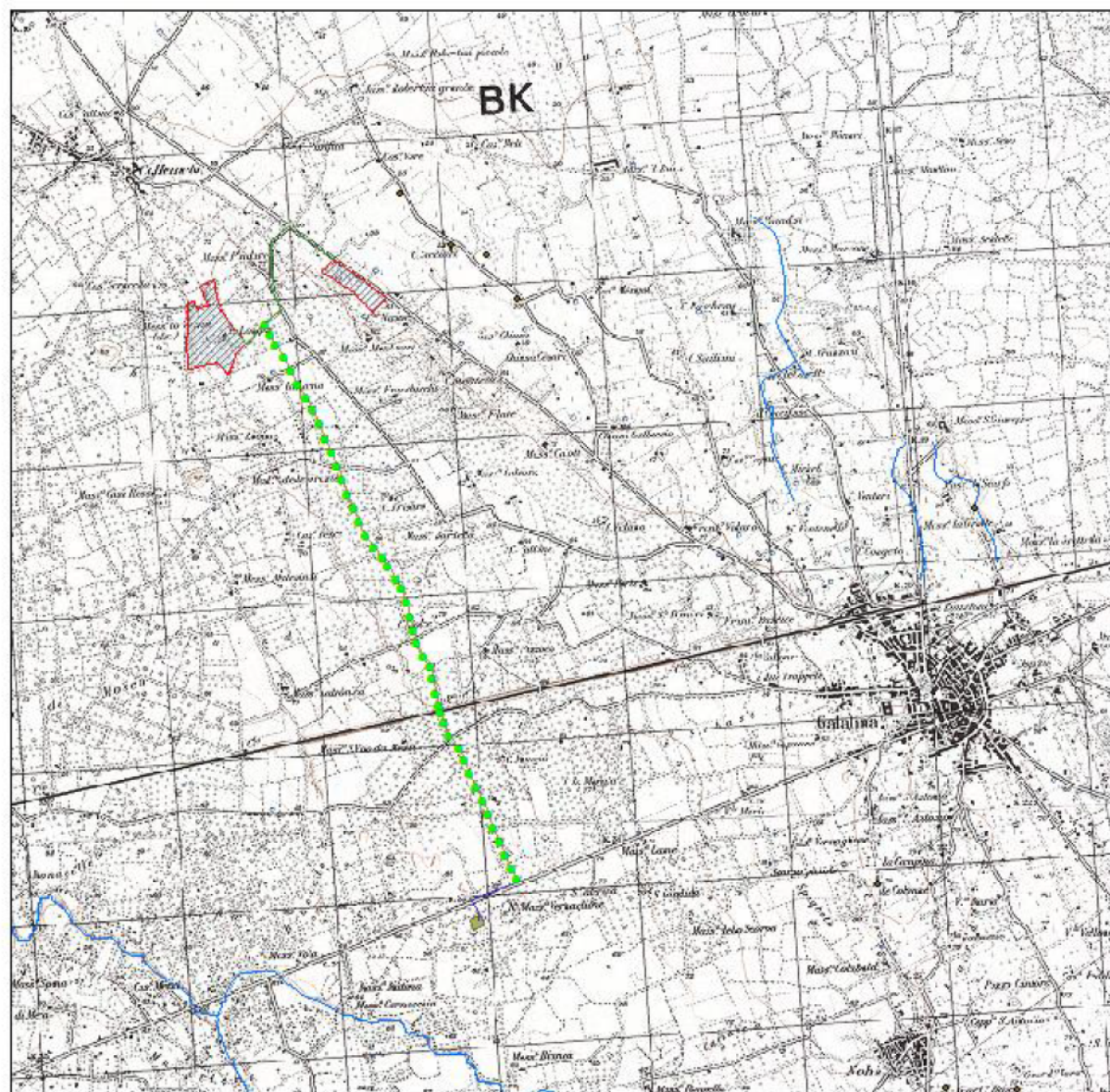
attivo ed aree golenali (art. 6) e Fasce di pertinenza fluviale (art. 10), la loro ubicazione segue i seguenti criteri:

- Quando il reticolo idrografico e l'alveo in modellamento attivo e le aree golenali non sono arealmente individuate nella cartografia in allegato al PAI e le condizioni morfologiche non ne consentano la loro individuazione, le norme si applicano alla porzione di terreno a distanza planimetrica, sia in destra che in sinistra, dall'asse del corso d'acqua, non inferiore a 75 m.
- Quando la fascia di pertinenza fluviale non è arealmente individuata nelle cartografie in allegato al PAI, le norme si applicano alla porzione di terreno, sia in destra che in sinistra, contermina all'area golenale, come individuata al punto precedente, di ampiezza comunque non inferiore a 75 m.

Dalla consultazione degli elaborati grafici si può notare che le aree di progetto non sono interessate dal vincolo di Alta, Media e Bassa Pericolosità Idraulica disciplinate dalle NTA allegate al Piano di Assetto idrogeologico dell'Autorità di Bacino della Puglia- Distretto Idrografico dell'Appennino Meridionale.

2 ANALISI IDROLOGICA - IDRAULICA

L'area del comune di Galatina e nello specifico l'area del parco fotovoltaico di interesse ricade, dal punto di vista dell'assetto idraulico, in parte all'interno del territorio del bacino denominato Salento endoreico e in parte nel bacino idrografico del Canale Asso-Raschione.



Legend

 Area parco fotovoltaico

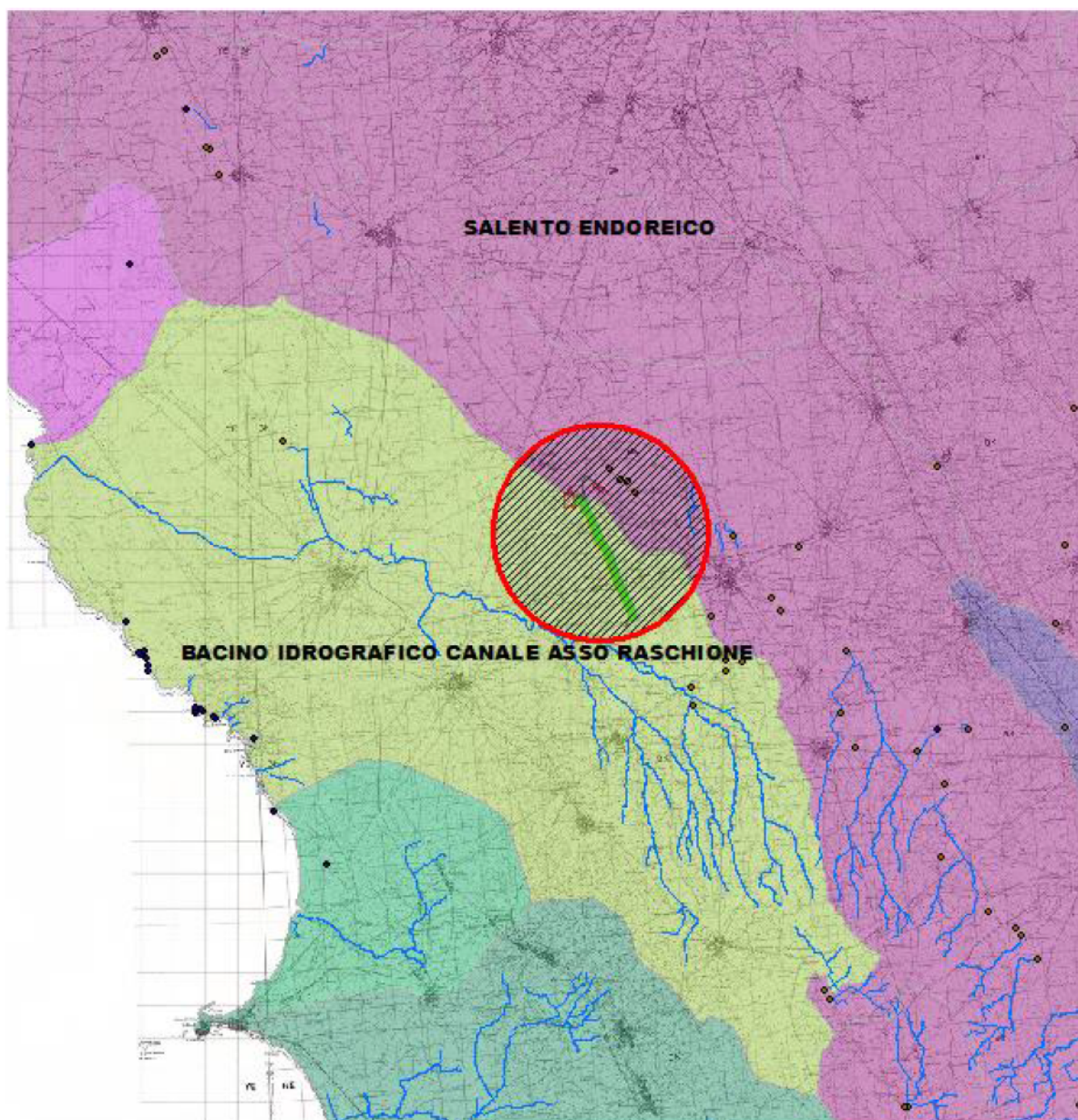


Figura 4 Bacini idrografici con indicazione dell'area del parco fotovoltaico



L'ambito dei bacini endoreici della piana salentina occupa una porzione molto estesa della Puglia meridionale, che comprende gran parte della provincia di Lecce ma porzioni anche consistenti di quelle di Brindisi e di Taranto.

Questo ambito, molto più esteso di quello analogo presente sull'altopiano murgiano, comprende anch'essa una serie numerosa di singoli bacini endoreici, ognuno caratterizzato da un recapito finale interno allo stesso bacino.

Fra questi il più importante è il Canale Asso, caratterizzato da un bacino di alimentazione di circa 200 Km² e avente come recapito finale un inghiottitoio carsico (Vora Colucci) ubicato a nord di Nardò. Negli ultimi decenni è stato realizzato un canale scolmatore che connette il tratto terminale dell'Asso al mare.



Il Canale Asso a valle dell'abitato di Nardò (LE).

Molto più diffuse, rispetto ai bacini endoreici presenti nel settore murgiano, sono gli apparati carsici caratterizzati da evidenti aperture verso il sottosuolo, comunemente denominate “voragini” o “vore“, ubicate quasi sempre nei punti più depressi dei bacini endoreici in cascata con possibili sormonti, a luoghi anche a costituire gruppi o sistemi di voragini, in molti casi interessati da lavori di sistemazione idraulica e bonifica.

Non sempre i reticoli idrografici che convogliano le acque di deflusso verso i recapiti finali possiedono chiare evidenze morfologiche; frequenti, infatti, sono i casi in cui le depressioni morfologiche ove detti deflussi tendono a concentrarsi hanno dislivelli rispetto alle aree esterne talmente poco significativi che solo a seguito di attente analisi morfologiche o attraverso l'esame dei casi storici di allagamento si riesce a circoscrivere le zone di transito delle piene.

Ove invece i reticoli possiedono evidenze morfologiche dell'alveo di una certa significatività, gli stessi risultano quasi sempre oggetto di interventi di sistemazione idraulica e di correzione di tracciato.



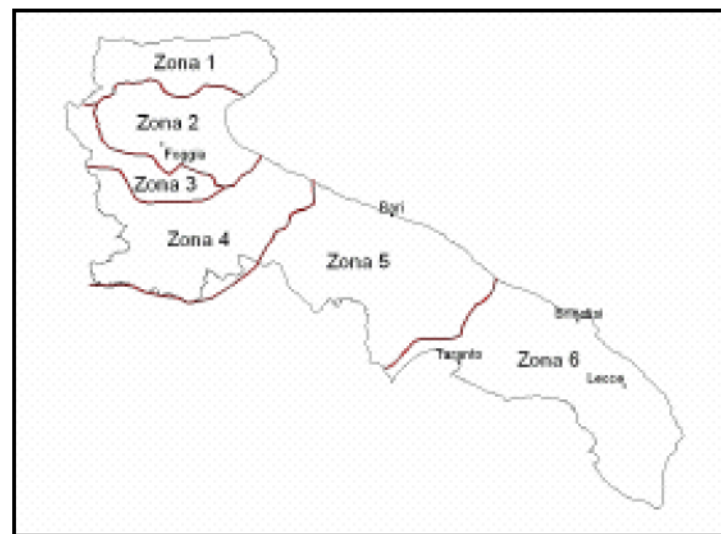
Il Canale Pedicare in territorio di Supersano (LE).



Una voragine con sistemazione idraulica in territorio di Minervino di Lecce (LE).

In linea con quanto stabilito in merito agli indirizzi forniti dal D.P.C.M 29.09.1998, la determinazione della curva di possibilità pluviometrica (C.P.P.) dei bacini in studio, con riferimento agli eventi di pioggia di breve durata, è stata effettuata attraverso l'utilizzo della metodologia propria del progetto Va. Pi. Puglia.

Il metodo Va.Pi. effettua la regionalizzazione delle piogge su sei zone omogenee, in cui è stata suddivisa la Puglia, con formulazioni diverse per ognuna di esse.



Nel VAPI l'analisi idrologica è basata sulla legge di distribuzione statistica TCEV (Rossi et al 1984); la peculiarità di questo modello e quella di riuscire a considerare anche gli estremi idrologici, che sono di fatto gli eventi che inducono un livello di pericolosità più elevato, riconducendosi al prodotto di due funzioni di distribuzione di probabilità tipo Gumbel, una che riproduce l'andamento degli eventi ordinari e l'altra che riproduce l'andamento degli eventi eccezionali. La TCEV (two components extreme value - legge di distribuzione di probabilità del Valore Estremo a Doppia Componente) ha la caratteristica di conferire al modello idrologico maggiore flessibilità e capacità di adattamento alle serie di dati disponibili, tuttavia occorre disporre di una serie storica di dati sufficientemente lunga per non incorrere in errori di campionatura. Tale legge rappresenta la distribuzione del massimo valore conseguito, in un dato intervallo temporale, da una variabile casuale distribuita secondo la miscela di due leggi esponenziali, nell'ipotesi che il numero di occorrenze di questa variabile segua la legge di Poisson (Rossi e Versace, 1982: Rossi et al 1984).

Il modello proposto ammette che le due componenti, quella straordinaria e quella ordinaria, appartengano a popolazioni diverse ma tuttavia interferiscono tra loro seguendo un processo poissoniano. Il processo individua una variabile X che rappresenta il massimo valore in una certa durata D , di una variabile casuale Y distribuita secondo la miscela di due esponenziali (Y_1 e Y_2) con funzione di probabilità cumulata (CDF):

$$FY(y) = [Y \leq y] = p(1 - e^{-y/\theta_1}) + (1-p)(1 - e^{-y/\theta_2}); Y \geq 0 \quad 0 < p \leq 1$$

dove gli indici 1 e 2 si riferiscono alla componente ordinaria e straordinaria e p indica la proporzione della prima componente nella miscela.

Il numero di occorrenze K , cioè il numero di superamenti della variabile Y , in una durata D , è distribuito secondo la legge di Poisson con parametri uguali a Λ_1 e Λ_2 tali che:

$$\Lambda = \Lambda_1 + \Lambda_2 = E[Kt]$$

in cui Λ rappresenta la funzione parametro del processo, espressa come la media dei superamenti. Ipotizzando che Y_1 e Y_2 siano distribuite esponenzialmente con valori medi:

$$\theta_1 = E[Y_1] \quad \theta_2 = E[Y_2]$$

l'equazione diventa:

$$F_{kt}(k) = \exp[-\Lambda_1 \exp(-k/\theta_1) - \Lambda_2 \exp(-k/\theta_2)]$$

che definisce la distribuzione TCEV.

La probabilità p_2 che un certo valore della X provenga dalla componente straordinaria è espresso dalla relazione:

$$p_2 = -\Lambda^* / \theta_2 \sum_j (-1)^j / j! \Lambda^{*j} \Gamma(j+1 / \theta_2)$$

nella quale Γ è la funzione speciale e:

$$\theta^* = \theta_2 / \theta_1, \quad \Lambda^* = \Lambda_2 / (\Lambda_1^{1/\theta^*})$$

Se si dispone di un campione $\{x_1, x_2, \dots, x_n\}$ della variabile X (massimo annuale delle Y) osservato in n anni, la stima dei parametri della distribuzione può essere effettuata utilizzando le serie dei massimi annuali applicando il metodo della massima verosimiglianza (ML).

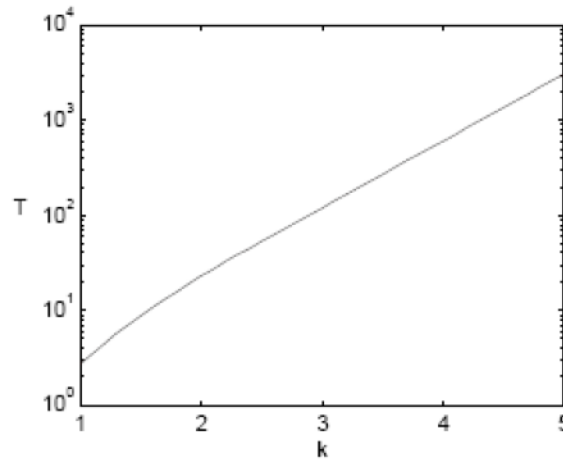
L'identificazione dei parametri della distribuzione TCEV consente di costruire un modello regionale con struttura gerarchica, basata su tre livelli di regionalizzazione, grazie a cui è possibile individuare regioni in cui risulta costante il coefficiente di asimmetria (G), quindi risultano costanti i due parametri Θ^* e Λ^* ad esso legati (primo livello di regionalizzazione), e sottoregioni di queste, più limitate, in cui sia costante anche il coefficiente di variazione, e quindi il parametro Λ_1 che da esso dipende (secondo livello di regionalizzazione). Il terzo livello è poi finalizzato alla ricerca di eventuali relazioni esistenti, all'interno di più piccole aree, tra il parametro di posizione della distribuzione di probabilità della X e le caratteristiche morfologiche. In particolare si nota che, all'interno di dette aree, i valori medi dei massimi annuali delle precipitazioni di diversa durata sono o costanti o strettamente correlati alla quota del sito di rilevamento. L'analisi condotta per l'intero territorio pugliese suggerisce la presenza di una unica zona omogenea di primo livello (cioè caratterizzate dalla costanza di Θ^* e Λ^*), comprensiva di tutte le stazioni della Puglia, e di due sottozone omogenee al secondo livello.

L'analisi regionale dei dati di precipitazione al primo e al secondo livello di regionalizzazione è finalizzata alla determinazione delle curve regionali di crescita della grandezza in esame. In particolare per utilizzare al meglio le caratteristiche di omogeneità spaziale dei parametri della legge TCEV (CV e G), è utile rappresentare la legge $F(X_t)$ della distribuzione di probabilità cumulata del massimo annuale di precipitazione di assegnata durata X_t come prodotto tra il suo valore medio $\mu(X_t)$ ed una quantità $K_{t,T}$, detta fattore probabilistico di crescita, funzione del periodo di ritorno T e della durata t , definito dal rapporto:

$$K_{t,T} = X_{t,T} / \mu(X_t) \quad (a)$$

La curva di distribuzione di probabilità del rapporto (a) corrisponde alla curva di crescita, che ha caratteristiche regionali, in quanto è unica nell'ambito della regione nella quale sono costanti i tre parametri della TCEV.

È possibile rappresentare graficamente la funzione $K_T = K_T(T)$ al variare del tempo di ritorno T ; si riporta nel grafico successivo tale legge di variazione.



Fattore di crescita al variare del tempo di ritorno

In alternativa alle rappresentazioni grafiche delle curve di crescita, il valore di KT può essere ricavato direttamente in funzione di T_r attraverso una approssimazione asintotica (Rossi e Villani, 1995) della legge di crescita. E' utile sottolineare che l'uso di questa approssimazione comporta una leggera sottostima del fattore di crescita, con valori che sono superiori al 5% solo per $T < 40$ anni. La relazione è la seguente:

$$KT = a + b \ln T \quad (1)$$

in cui :

$$a = (\Theta \ln \Lambda^* + \ln \Lambda_1) / \eta$$

$$b = \Theta^* / \eta$$

$$\eta = \ln \Lambda_1 + C - T_0$$

T_0 è una funzione il cui valore è stato ottenuto grazie a un programma di calcolo iterativo.

Pertanto nella tabella seguente sono riportati i valori dei parametri a e b , e i relativi valori η e T_0 , che consentono di determinare nella forma (1) le leggi di crescita relative all'area in esame:

Zona omogenea	a	b	T_0	η
Puglia centro merid.	0.1599	0.5166	-0.6631	4.1053

Coefficienti utilizzabili per l'uso dell'espressione asintotica (1)

Le aree omogenee individuate al primo e secondo livello di regionalizzazione si parzializzano al terzo livello, nel quale si analizza la variabilità spaziale del parametro di posizione (media, moda, mediana) delle serie storiche in relazione a fattori locali.

Nell'analisi delle piogge orarie, in analogia ai risultati classici della statistica idrologica (Viparelli, 1964), per ciascuna stazione e stato possibile correlare il valore medio x_t dei massimi annuali della precipitazione media di diversa durata t alle durate stesse, attraverso la relazione:

$$x_t = a \cdot t^n \quad (2)$$

essendo a ed n due parametri variabili da sito a sito. Ad essa si dà il nome di curva di probabilità pluviometrica.

Si riporta la relazione tra l'altezza media di precipitazione al variare della durata, in dipendenza con la quota del sito oggetto dello studio:

$$x_t = a \cdot t^{(C \cdot h + D + \log a - \log a) / \log 24} \quad (4)$$

dove:

a è il valore medio, pesato sugli anni di funzionamento, dei valori di x_1 relativi alle serie con $N \geq 10$ anni ricadenti nella zona omogenea;

$\alpha = x_g / x_{24}$ è rapporto fra le medie delle piogge giornaliere e di durata $t=24$ ore per serie storiche relative ad uno stesso periodo di misura. Per la Puglia il valore del coefficiente a è risultato in pratica costante sull'intera regione e pari a 0.89.

C e D sono i coefficienti della regressione lineare fra il valore medio dei massimi annuali delle piogge giornaliere e la quota del sito di riferimento.

I valori delle stime dei parametri sono riportati nel prospetto seguente:

Zona	α	a	C	D
5	0.89	28.2	0.0002	4.0837
6	0.89	33.7	0.0022	4.1223

Valori delle stime dei parametri utilizzati nella relazione (4)

Secondo lo schema riportato nell'immagine in allegato e sintetizzato nella tabella a seguire, il bacino rientra interamente nella "zona 6".

La curva di possibilità pluviometrica di base (C.P.P.) utilizzata per le valutazioni idrologiche è pertanto la seguente:

$$\text{zona 6: } x(t, z) = 33.7t^{((0.488+0.002z)/3.178)}$$

3 CONCLUSIONI

Con riferimento al progetto per la realizzazione di un impianto fotovoltaico di potenza nominale pari a 9,98 MW e potenza di picco pari a 11,97 MWp da installare nel comune di Galatina (LE) in località “La Lama”, e con opere di connessione ricadenti tutte nello stesso territorio comunale, con il presente studio sono stati svolti approfondimenti riguardanti l’assetto idrologico ed idraulico della zona di intervento.

Dalla consultazione degli elaborati grafici si può notare, come già specificato in precedenza, che le opere non ricadono all’interno di aree perimetrate e/o alveo fluviale in modellamento attivo ed aree golenali - fasce di pertinenza fluviale. Pertanto, il parco fotovoltaico nella sua interezza risulta essere in condizioni di sicurezza idraulica.

Ad ogni modo in fase di realizzazione degli scavi si adotteranno i seguenti accorgimenti:

- le operazioni di scavo e rinterro per la posa dei cavidotti non modificheranno il libero deflusso delle acque superficiali;
- saranno realizzate opere atte ad impedire il trasferimento nel sottosuolo di eventuali acque superficiali che si dovessero infiltrare nella trincea di scavo anche in funzione della pendenza longitudinale del fondo;
- durante l’esercizio delle opere si eviterà, in modo assoluto, l’infiltrazione delle acque piovane nelle trincee realizzate per la posa dei cavidotti;
- il materiale di risulta provenienti dagli scavi, non utilizzato, sarà portato nel più breve tempo possibile alle discariche autorizzate.

AREE PAI E RETICOLO IDROGRAFICO (CFR CARTA IDROGEOMORFOLOGICA REGIONE PUGLIA)

